

# ОПРЕДЕЛЕНИЕ КОНЦЕНТРАЦИИ ДЫРОК В InP МЕТОДОМ КОМБИНАЦИОННОГО РАССЕЯНИЯ СВЕТА

*A. Т. Гореленок, И. Ю. Якименко*

Физико-технический институт им. А. Ф. Иоффе РАН,

194021, Санкт-Петербург, Россия

(Поступило в Редакцию 15 июня 1994 г.)

Известно, что такие традиционные методы определения концентрации свободных носителей заряда в полупроводниках, как холловские измерения и С-В метод, пригодны для достаточно однородных объектов. При исследовании неоднородных структур или тонких слоев (толщиной менее 1 мкм) они дают большую погрешность. В этом случае представляют интерес бесконтактные оптические методы, из которых нам представляется наиболее интересным метод комбинационного рассеяния света (КРС). Эффективность использования КРС при определении концентрации свободных носителей показана в случае GaAs, GaP, InP [1], AlGaAs [2] *n*-типа проводимости, а также GaAs [3] и GaP [4] *p*-типа. Данные по КРС в *n*-InP в известной нам литературе отсутствуют. Поэтому в данной работе были проведены исследования спектров КРС слоев InP *p*-типа различного уровня легирования с целью выяснения критерии определения концентрации свободных носителей.

Объектом исследования служили слои *p*-InP (100) ориентации толщиной 2...2.5 мкм с концентрацией дырок от  $5 \cdot 10^{15}$  до  $1.3 \cdot 10^{19} \text{ см}^{-3}$ , сформированные диффузией Zn из полимерной пленки в полуизолирующей подложке [5]. Спектры КРС возбуждались светом аргонового лазера с длиной волны  $\lambda = 514.5 \text{ нм}$ . При этом тестировалась приповерхностная область глубиной порядка  $I/\alpha(\lambda) \simeq 900 \text{ \AA}$  ( $\alpha$  — коэффициент поглощения возбуждающего света). Использовалась 180°-ная геометрия рассеяния  $Z[XY]\bar{Z}$ , где  $X = [001]$ ,  $Y = [010]$ ,  $Z = [100]$ . Спектр рассеянного света регистрировался при комнатной температуре спектрометром ДФС-24, в котором в качестве приемника использовался фотоумножитель ФЭУ-79 в режиме счета фотонов. Возбуждающий свет фокусировался в пятно диаметром  $\simeq 150 \text{ мкм}$  на поверхность образца. Плотность мощности возбуждения поддерживалась на уровне  $\simeq 100 \text{ Вт/см}^2$ , что позволяло исключить влияние на спектры оптически возбужденных носителей [6]. При этом из-за малости интенсивности КРС в сильно легированных образцах измерения проводились при спектральной ширине щели монохроматора  $4 \text{ см}^{-1}$ .

Спектры КРС слоев InP с различной концентрацией дырок (см. таблицу) в области однофононных переходов, измеренные в одинаковых условиях, приведены на рис. 1. В спектре *i*-InP (InP:Fe), представленном на рисунке кривой 1, наблюдается интенсивная линия с частотой  $\simeq 346 \text{ см}^{-1}$ , соответствующая разрешенному правилами отбора рассеянию на продольных оптических фонах (*LO*) центра зоны Бриллюена.

Номер спектра	Холловские данные		Параметры расчета спектров КРС		
	$p$ , см $^{-3}$	$\mu$ , см $^2$ /с	$\Gamma$ , см $^{-1}$ *	$p$ , см $^{-3}$	$\Gamma_p$ , см $^{-1}$
1	$p_i$	—	1.8	$p_i$	100
2	$2.2 \cdot 10^{17}$	210	4.5	$2.2 \cdot 10^{17}$	110
3	$1.3 \cdot 10^{18}$	111	6	$1.1 \cdot 10^{18}$	205
4	$3.8 \cdot 10^{18}$	51	7.5	$3.9 \cdot 10^{18}$	460
5	$1.3 \cdot 10^{19}$	28	7.5	$1.0 \cdot 10^{19}$	820
6	—	—	7.5	$3.0 \cdot 10^{19}$	900

П р и м е ч а н и е.  $\Gamma$  — параметр затухания фонона,  $p_i = 1.3 \cdot 10^7$  см $^{-3}$  — собственная концентрация дырок. В таблице указаны параметры, при которых расчет дает наилучшее совпадение с экспериментом.

По мере увеличения концентрации дырок происходят уменьшение интенсивности и уширение полосы, максимум которой соответствует частоте  $LO$ -фонона  $\omega_{LO}$ . При  $p > 2 \cdot 10^{18}$  см $^{-3}$  становится значительной асимметрия формы линии этой полосы. Дополнительных полос в спектрах КРС в исследованном диапазоне концентраций не наблюдалось.

Эволюция спектров КРС с ростом  $p$  определяется двумя основными факторами. Во-первых, на поверхности полупроводника существует обедненный слой, рассеяние от которого дает вклад в регистрируемый спектр. Вклад от обедненного слоя совпадает по форме со спектром  $i$ -InP, а его интенсивность зависит от толщины обедненного слоя, которая в свою очередь определяется концентрацией дырок. Во-вторых, спектр от области между обедненным слоем и границей проникновения возбуждающего света определяется взаимодействием решеточных колебаний с плазмой свободных носителей. Его форма зависит от  $p$  и определяется соотношением частот и затухания фонона и плазмона. В случае, когда параметр затухания плазмона  $\Gamma_p = e/\mu t^*$  ( $e$  — заряд электрона,  $\mu$  и  $t^*$  — подвижность и эффективная масса свободных носителей) мал по сравнению с плазменной частотой  $\omega_p = (pe^2/\epsilon_0\epsilon_\infty m^*)^{1/2}$ , в спектре присутствуют две смешанные плазмон-фононные моды  $L^-$  и  $L^+$ , частоты и затухания которых отличаются от соответствующих параметров фонона и плазмона (например, в InP и GaAs  $n$ -типа). Как правило, при определении концентрации свободных носителей в этом случае используется зависимость частот плазмон-фононных мод от указанного параметра. В случае плазмы с сильным затуханием ( $\Gamma_p > \omega_p$ ) в спектрах КРС проявляется только одна плазмон-фононная полоса, частота которой незначительно отличается от  $\omega_{LO}$  (наблюдалась в GaP и SiC  $n$ -типа [7,8], GaAs и GaP  $p$ -типа [3,4]). В InP дырочная плазма также является сильно затухающей.

Мы провели модельный расчет спектров КРС. Сечение рассеяния на плазмон-фононных модах рассчитывалось аналогично [3]. Вклад обедненного слоя учитывался по [9]. Учет аппаратной функции спектрометра проводился по [10]. Как следует из рис. 1, примененная мо-

$J_{KPC}$ , отн. ед.

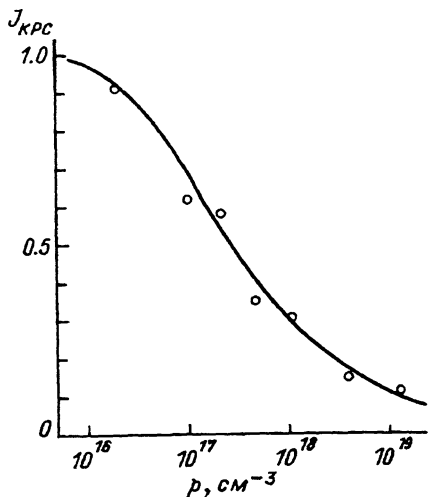
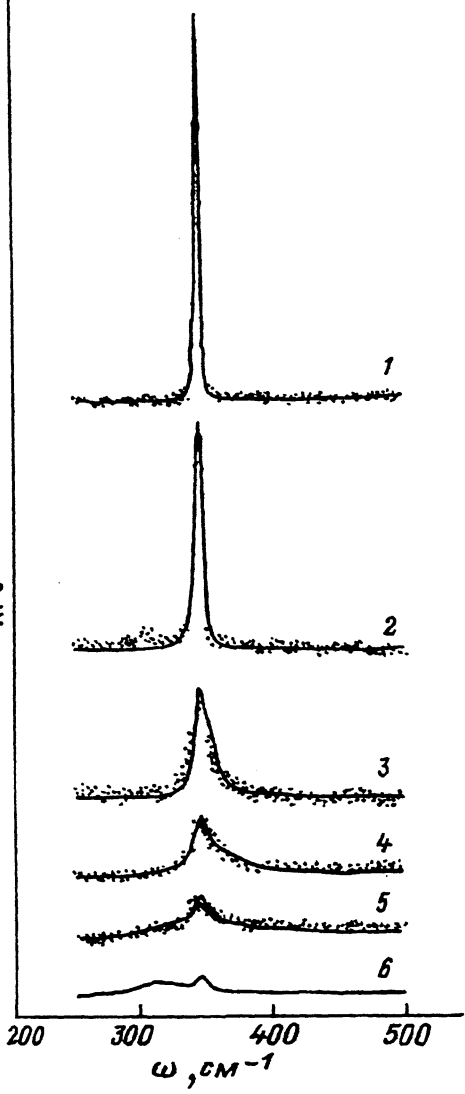


Рис. 2. Зависимость интенсивности КРС на частоте  $LO$ -фона, нормированной на значение для  $i$ -InP, от концентрации дырок. Точки — эксперимент, кривая — расчет.

Рис. 1. Спектры КРС образцов InP-типа с различным уровнем легирования.

Точки — эксперимент, кривые — расчет. Параметры образцов в таблице.

дель хорошо согласуется с экспериментальными данными. Используя эту модель, мы получили зависимость интенсивности рассеяния на частоте  $\omega_{LO}$  от концентрации дырок. Как следует из рис. 2, рассчитанная зависимость хорошо согласуется с экспериментальными данными. Полученная зависимость может быть использована в качестве калибровочной кривой при определении  $p$  по спектрам КРС. Следует отметить, что в случае регистрации спектров КРС при сходных с нашими условиях измерения можно для определения  $p$  использовать аппроксимационную зависимость аналогично [11]  $I(p) = I(0)[1 - \exp(-2\alpha L_d)]$ , где  $\alpha = 0.8 \cdot 10^5 \text{ см}^{-1}$ ,  $L_d = (2\epsilon_s \epsilon_0 \phi / ep)^{1/2}$  — толщина обедненного слоя,  $\phi = 0.4 \text{ В}$  — изгиб зон на поверхности полупроводника,  $\epsilon_s = 12.4$ .

В заключение отметим, что проведенные исследования свидетельствуют о возможности определения концентрации дырок в InP методом КРС с локальностью не более 150 мкм по поверхности и 900 Å по глубине. Высокая локальность метода позволяет определять  $p$  в тонких слоях и в сочетании с прецизионным травлением исследовать распределение свободных носителей в градиентных слоях, что и будет продемонстрировано в последующих работах.

Авторы выражают благодарность А.В.Каманину и Н.М.Шмидт за предоставление диффузионных образцов и обсуждение полученных результатов.

### Список литературы

- [1] Рассеяние света в твердых телах. Под. ред. М.Кардоны и Г.Гюнтеродта. М.: Мир, 1986. Вып. 2. 408 с.
- [2] Минтаиров Ф.М., Смекалин К.Е., Устинов В.М., Хвостиков В.П. // ФТП. 1990. Т. 24. Вып. 9. С. 1539–1549.
- [3] Mayah A., Carles R., Landa G. et al. // J. Appl. Phys. 1991. Vol. 69. N 7. P. 4064–4070.
- [4] Irmer G., Siegel W., Kuhnel G. et al. // Semicond. Sci. Technol. 1991. Vol. 6. N 11. P. 1072–1078.
- [5] Беляков С.В., Бусыгина Л.А., Гореленок А.Т. и др. // Письма в ЖТФ. 1992. Т. 18. Вып. 13. С. 35–38.
- [6] Белоусов М.В., Гореленок А.Т., Давыдов И.Ю. и др. // ФТП. 1990. Т. 24. Вып. 12. С. 2177–2180.
- [7] Hon D.T., Faust W.L. // Appl. Phys. 1973. Vol. 1. P. 241–256.
- [8] Yugami H., Nakashima S., Mitsuishi A. // J. Appl. Phys. 1987. Vol. 61. P. 354–358.
- [9] Herms M., Irmer G., Monecke J., Oettel O. // J. Appl. Phys. 1992. Vol. 71. N 1. P. 432–435.
- [10] Зайдель А.Н., Островская Г.В., Островский Ю.Н. // Техника и практика спектроскопии. М.: Наука, 1976. С. 392.
- [11] Fukasawa R., Wakaki M., Onta K., Okumura N. // Jap. J. Appl. Phys. 1986. Vol. 25. N 4. P. 652–653.

01:06:07  
© 1995 г.

Журнал технической физики, т. 65, в. 1, 1995

## ПОГЛОЩЕНИЕ СВЕТА ПОЛУПРОВОДНИКОВОЙ КВАНТОВОЙ ЯМОЙ В ПОСТОЯННОМ ЭЛЕКТРИЧЕСКОМ ПОЛЕ

B.A. Синяк

Институт прикладной физики АН Молдовы,  
227028, Кишинев, Молдова  
(Поступило в Редакцию 15 июня 1994 г.)

Оптическим свойствам полупроводников с пониженной размерностью в последнее время уделяется особое внимание. Это связано с уникальными возможностями их использования при создании инфракрасных лазеров, фотодетекторов, высокоскоростных электрооптических модуляторов. Большое количество работ посвящено межзонным оптическим переходам, экситонным эффектам, оптическому эффекту Штарка и многим другим линейным и нелинейным эффектам в полупроводниковых квантовых ямах [1].